

# 科學研究論文彙編

第二期

上海中醫學院

1959.10.1.

## 序　　言

我們選集了 1959 年的科學研究論文中的 59 篇，彙編成冊，向偉大的國慶十周年獻禮。它是 1958 年上海中醫學院科學研究論文摘要彙編第一輯的繼續，在順序上算第二輯。

我院科學研究工作，在黨的領導下，青老年中西醫師緊密合作，共同努力，已取得了一定成就。

1959 年的選題，截至九月中旬止，已完成 112 項，其中理論機制，重點是經絡本質的探討，針灸機制的研究 26 項，臨床研究 47 項，文獻整理、著作等 81 項，其他 8 項。

經絡與針灸機制的研究，是我院的一個重點，論文也較多，雖還不能得出全面的、肯定的結論，但對今後繼續研究提供了重要的資料。臨床研究，也取得了顯著的成效，如針刺治療聾啞有效率達 84.7%，針刺治療小兒麻痺症有效率達 95.8%，推拿治療椎間盤突出有效率達 91.2%，治癒率 75%，中醫中藥治療高血壓有效率達 74.6%，中醫中藥治療矽肺，療效亦較理想，症狀改善 88.2%，肺功能恢復 85%，X 線胸片的觀察，在 28 例中有 7 例矽結節陰影及網狀陰影吸收好轉。

這些成就，是黨的正確領導，堅決貫徹了黨的中醫政策，廣大羣眾對繼承發揚祖國醫學遺產的積極性空前提高的必然產物。

1959 年的科學研究工作，無論從量或質方面來說，都有所提高，但我們並不滿足這些成果，相反的，我們應在新的基礎上，更加努力，對人民作出更大的貢獻。

因時間匆促，不及仔細地審訂、修正，錯誤之處，恐在所難免，請批評指正。

# 目 录

## 理論探討和机制研究

阴阳五行学說在临床上的应用

經絡學說的研究

針刺对加強孕妇子宮收縮的作用

灸石門穴对小白鼠生殖系統(性週期及受孕率)影响初步報告(摘要)

針刺对人心臟動作電流的影響

艾灸对高血压患者手指容积影响的初步觀察(摘要)

X綫下觀察針刺对胃蠕动的影响以及穴位選擇性問題的初步探討

正常人胃蠕动的描記及針灸对胃蠕动描記波的影响

針刺“足三里”对菟胃运动机能的影响及其机制的初步探討

12經脈循行部位及其穴位与人体結構关系的解剖觀察

✓ 手太阴肺經循行部位解剖結構的觀察

手三里穴解剖結構的觀察

关于“关元”、“三阴交”穴位臨床針刺感应和解剖結構的关系

皮肤穴位导电量与温度正常值的測定及其周身分布情况的研究

电极面积、电极与皮肤接触的压力以及接触时间的長短对皮肤穴位导电量的研究

几种經絡仪的測定(直流电阻器的設制)

皮肤电位測定器的設制

“莉蘆”經不同方法处理后的毒性和对家兔血吸虫病疗效的进一步觀察

針灸对血清中白血球数量、补体、抗体影响的初步試驗

中药对流感病毒的抑制作用

## 臨 床 研 究

高血压病的中医理論和治疗(摘要)

中医对慢性腎炎的理論机制及其治疗(摘要)

石斛銀翹湯治疗20例腎孟炎初步觀察

中医治疗慢性腎炎20例初步小結

中医中药治疗子宮頸癌的研究

25例矽肺的中医治疗

中药治疗21例支气管扩张初步疗效观察

运用中医中药治疗再生障碍性貧血的体会

中医中药对糖尿病的疗效

中医对慢性泄瀉的認識和治疗  
雷丸治疗钩虫病的初步疗效觀察  
驅钩合剂治疗钩虫病的疗效觀察  
驅钩煎剂治疗钩虫病的初步分析  
祖国医学治疗晚期血吸虫病

中医治疗小兒傳染性肝炎的临床報告  
麻疹併发肺炎临床总结

中医中药治疗急性阑尾炎和阑尾膿腫 138 例病案分析  
中医外科手法治愈慢性复发性伴有乳头內縮的乳部瘻管24例临床觀察報告  
海藻玉壺湯加減治疗癰瘤（甲狀腺腫及囊腫）33例临床觀察  
藥烘疗法治疗神經性皮炎50例初步報告

針刺治疗聾啞症 301 例的初步总结  
針刺治疗精神分裂症的临床觀察  
針刺治疗小兒麻痹症后遺症 214 例的临床觀察  
針刺治疗遺尿症  
針刺治疗視神經萎縮  
針刺治疗慢性瘧疾  
針刺治疗胆囊炎  
針刺治疗肺結核  
針刺治疗 127 例高血压病疗效总结  
針刺治疗癫痫61例報导  
兒科指針治疗应用子午流注法的經驗介紹  
針刺治疗視網膜色素变性  
“失眠症”的水針疗法

推拿治疗腰椎間盤突出症的临床觀察与探討

## 其　　他

若干中藥中鉄、鈣与磷含量的測定  
黃芩的药理作用

肝臟疾病时血清轉氨酶活力的測定  
双缩脲反应测定血清蛋白質的研究  
蜂蠍对于腎上腺皮質的作用

檢查全院寄生虫的感染  
利用溫差電偶溫度計測定循環時間

# 皮肤穴位导电量与溫度正常值的測定 及其在週身分佈情况的研究

1959.9.12

上海中医学院

1959年9月

# 皮肤穴位导电量与温度正常值的测定 及其在週身分佈情況的研究\*

上海中医学院 曾兆麟 張今錚 郁望耀 吳定宗 張陳福  
上海市針灸研究所

自从日人中谷氏<sup>(1)</sup>之良导点、良导絡學說傳入我国后，國內应用中谷氏的方法，在临床診斷与治疗疾病的工作已經普遍开展，然而对我国正常人皮肤腧穴导电量的測定尚未見有報告。我們嘗試对部分穴位导电量的正常值作一初步測定，以供國內临床研究作参考。对于中谷氏之所謂“原穴”可作为“代表良导点”問題，我們也进行初步的觀察。Zach氏<sup>(2)</sup>認為內臟代謝功能的改變，可以在其相应的皮肤的物理特征上如皮肤导电量的大小、皮肤温度与皮肤电位的高低反映出来，因此我們也企图从皮肤温度方面來探討經絡問題。关于皮肤温度与皮肤上腧穴导电量的关系，目前国内外尚未有研究的報告。

苏联学者Поповский氏<sup>(2)</sup>曾觀察到皮肤表面某些部位的电位比較高，他称这些部位为皮肤活动点，有一些皮肤活动点与我国針灸学上的腧穴部位是一致的。由此引起我們探索一下各穴位上的导电量与其周围非穴位点有何差異。

## 实验材料和方法

測定对象为10名男性健康青年学生。年龄19—27岁，經詳細体格檢查，无特殊異常发现，一年內胸部X綫透視为阴性。測定的穴位系选择身体各部分代表性穴位，其中包括“原穴”、“井穴”、“俞穴”、“募穴”和其他临床常用的穴位，以及手太阴肺經、手少阳三焦經与足厥阴肝經的全部穴位，共計224点。

皮肤导电量的測定系利用經絡測定仪，电源为12伏特，电流計指示范围是0—200微安。探测电极直徑約2毫米，外包紗布兩層，以1%氯化鈉溶液保持湿润，測定时以探测电极輕压于皮肤上，待电流計指針偏轉稳定后记录导电量。

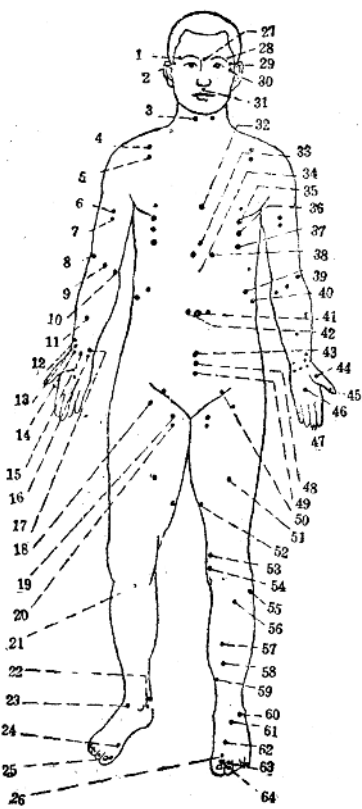
皮肤温度的測定方法<sup>(4)</sup>是利用温差电偶（由銅絲与鎳絲構成）与 $-10^{-9}$ 安培高灵敏度电流計进行，溫度相差 $0.1^{\circ}\text{C}$ 則电流計指針偏轉1毫米。温差电偶的热接头与皮肤接触，冷接头置于 $20^{\circ}\text{C}$ 的恒温瓶中。

以上10人均作皮肤导电量測定，其中7人作温度測定。被測定者皆裸身靜臥半小时后进行測定。測定时室温 $25^{\circ}\text{C}$ 左右，相对湿度在84—94%。

关于穴位与其周围非穴位部位导电量的比較，系在另外5个健康青年学生中进行，其方法与上述相同。測定时室温在 $28^{\circ}\text{C}$ 左右，相对湿度为66—83%。所挑选的穴位包括头部7个，軀干部分10个，上肢10个，下肢11个，左右兩側皆进行測定。所選擇的周围非穴位点与穴位的距离大部分是2厘米，极个别距离最短为1厘米，最长为3厘米左右。与穴位相比較的周围点数目一般是4点（穴位的上下左右），但有少到2点，多至7点的。將对照各点

\* 本文曾刊載于上海中医杂志，1968年12月号。

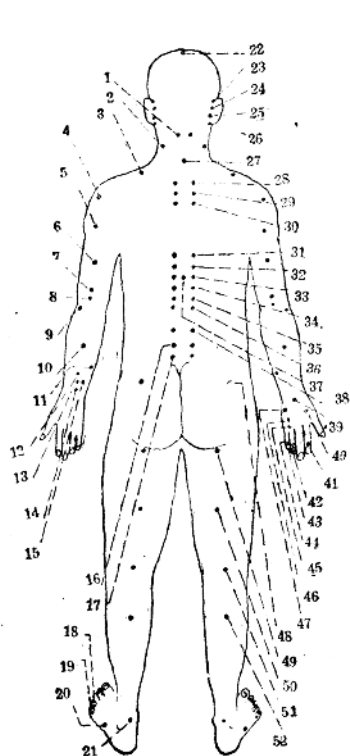
图 1 正常人皮肤穴位上的导电量与温度值(腹面)



1. 犁竹空 9 $\mu$ A, 38.6°C
2. 和胃 80 $\mu$ A, 34.3°C (右), 78 $\mu$ A, 34.3°C (左)
3. 人迎 82 $\mu$ A, 34°C (右), 91 $\mu$ A, 34°C (左)
4. 云门 59.3 $\mu$ A, 32.6°C (右), 55.9 $\mu$ A, 31.8°C (左)
5. 中府 57 $\mu$ A, 32.8°C (右), 61 $\mu$ A, 32.2°C (左)
6. 天府 54 $\mu$ A, 32.4°C (右), 41 $\mu$ A, 31.5°C (左)
7. 侠白 50.2 $\mu$ A, 31.9°C (右), 44.4 $\mu$ A, 31.7°C (左)
8. 曲池 54.6 $\mu$ A, 31.7°C (右), 53.1 $\mu$ A, 31.8°C (左)
9. 尺泽 57 $\mu$ A, 32.5°C (右), 53 $\mu$ A, 32.3°C (左)
10. 少海 44 $\mu$ A, 31.9°C (右), 47 $\mu$ A, 32°C (左)
11. 孔最 38 $\mu$ A, 34.3°C (右), 35 $\mu$ A, 33.1°C (左)
12. 列缺 24.6 $\mu$ A, 32.4°C (右), 26.9 $\mu$ A, 31.3°C (左)

13. 梁溪 29.4 $\mu$ A, 32.8°C (右), 28.8 $\mu$ A, 32.2°C (左)
14. 太源 28 $\mu$ A, 32.7°C (右), 27 $\mu$ A, 32.3°C (左)
15. 大陵 14 $\mu$ A, 32.5°C (右), 10 $\mu$ A, 32.3°C (左)
16. 神门 16 $\mu$ A, 32°C (右), 20 $\mu$ A, 32.2°C (左)
17. 灵道 30 $\mu$ A, 32.6°C (右), 34 $\mu$ A, 32.6°C (左)
18. 脾关 53 $\mu$ A, 32.8°C (右), 56 $\mu$ A, 32.9°C (左)
19. 明廉 33.6 $\mu$ A, 33.7°C (右), 41.7 $\mu$ A, 33.8°C (左)
20. 五里 45.4 $\mu$ A, 33.3°C (右), 39.1 $\mu$ A, 33.5°C (左)
21. 阴陵泉 32 $\mu$ A, 32.3°C (右), 31 $\mu$ A, 32.4°C (左)
22. 太谿 26 $\mu$ A, 31.8°C (右), 29 $\mu$ A, 32.1°C (左)
23. 中封 23 $\mu$ A, 32°C (右), 23 $\mu$ A, 32°C (左)
24. 太白 16 $\mu$ A, 30.9°C (右), 19 $\mu$ A, 30.7°C (左)
25. 腹白 25 $\mu$ A, 30.1°C (右), 25 $\mu$ A, 29.9°C (左)
26. 行间 31.8 $\mu$ A, 31.8°C (右), 26.4 $\mu$ A, 32.1°C (左)
27. 印堂 96 $\mu$ A, 32.7°C
28. 犁竹空 8 $\mu$ A, 33.5°C
29. 太阳 97 $\mu$ A, 32.7°C (左), 89 $\mu$ A, 32.8°C (右)
30. 耳門 67 $\mu$ A, 34.2°C (左), 62 $\mu$ A, 34°C (右)
31. 水沟 95 $\mu$ A, 33.7°C
32. 膻中 56 $\mu$ A, 33.2°C
33. 巨阙 62.4 $\mu$ A, 33.6°C
34. 中脘 63 $\mu$ A, 33.6°C
35. 乳根 62 $\mu$ A, 33.5°C (左), 65 $\mu$ A, 33.4°C (右)
36. 期门 53 $\mu$ A, 33.6°C (左), 52.1 $\mu$ A, 33.4°C (右)
37. 日月 47.5 $\mu$ A, 33.6°C (左), 46 $\mu$ A, 33.5°C (右)
38. 肝門 56 $\mu$ A, 33.4°C (左), 64.4 $\mu$ A, 33.5°C (右)
39. 肚門 59 $\mu$ A, 34.1°C (左), 62 $\mu$ A, 34.1°C (右)
40. 脐門 61 $\mu$ A, 33.6°C (左), 64 $\mu$ A, 33.9°C (右)
41. 神闕 40 $\mu$ A, 34.8°C
42. 天枢 40 $\mu$ A, 33.9°C (左), 42 $\mu$ A, 34°C (右)
43. 石門 47 $\mu$ A, 33.9°C
44. 鱼际 11 $\mu$ A, 32°C (右), 12.5 $\mu$ A, 31.7°C (左)
45. 少商 15 $\mu$ A, 30.7°C (右), 15 $\mu$ A, 30.5°C (左)
55. 劳宫 21 $\mu$ A, 32°C (右), 16 $\mu$ A, 32.1°C (左)
47. 中冲 14 $\mu$ A, 30.8°C (左), 15 $\mu$ A, 30.6°C (右)
48. 关元 47 $\mu$ A, 33.7°C
49. 中极 45 $\mu$ A, 33.9°C
50. 焦聚 60 $\mu$ A, 33.9°C (左), 62 $\mu$ A, 33.9°C (右)
51. 伏虎 48 $\mu$ A, 31.7°C (左), 49 $\mu$ A, 31.7°C (右)
52. 阴包 40 $\mu$ A, 33.1°C (左), 36 $\mu$ A, 32.8°C (右)
53. 曲泉 40.8 $\mu$ A, 32.5°C (左), 40.3 $\mu$ A, 32.7°C (右)
54. 康耳 42 $\mu$ A, 32.5°C (左), 38.4 $\mu$ A, 32.6°C (右)
55. 阳陵泉 37.4 $\mu$ A, 32.5°C (左), 36.4 $\mu$ A, 31.7°C (右)
56. 星三里 34 $\mu$ A, 32.1°C (左), 33 $\mu$ A, 31.8°C (右)
57. 中都 33.9 $\mu$ A, 32.3°C (左), 36.7 $\mu$ A, 32.2°C (右)
58. 盈泉 40 $\mu$ A, 31.9°C (左), 34 $\mu$ A, 31.9°C (右)
59. 三阴交 33 $\mu$ A, 31.5°C (左), 38 $\mu$ A, 31.6°C (右)
60. 丘墟 18 $\mu$ A, 31.5°C (左), 20.4 $\mu$ A, 31.6°C (右)
61. 冲阳 22 $\mu$ A, 32.1°C (左), 18 $\mu$ A, 31.8°C (右)
62. 太冲 24 $\mu$ A, 32.3°C (左), 24 $\mu$ A, 31.8°C (右)
63. 勃兒 24 $\mu$ A, 33°C (左), 26.4 $\mu$ A, 29.4°C (右)
64. 大敦 31 $\mu$ A, 31°C (左), 39 $\mu$ A, 30.8°C (右)

图 2 正常人皮肤穴位上的导电量与温度值(背面)



1. 真池  $65\mu\text{A}$ ,  $39.6^\circ\text{C}$  (右),  $68\mu\text{A}$ ,  $38.5^\circ\text{C}$  (左)
2. 天枢  $74\mu\text{A}$ ,  $38.4^\circ\text{C}$  (右),  $68\mu\text{A}$ ,  $38.8^\circ\text{C}$  (左)
3. 天溪  $66\mu\text{A}$ ,  $32.5^\circ\text{C}$  (右),  $64\mu\text{A}$ ,  $31.6^\circ\text{C}$  (左)
4. 列缺  $\{54\mu\text{A}$ ,  $32.1^\circ\text{C}$  (右)  
 $\{61\mu\text{A}$ ,  $32.8^\circ\text{C}$  (左)
5. 隐会  $\{45\mu\text{A}$ ,  $32.3^\circ\text{C}$  (右)  
 $\{58\mu\text{A}$ ,  $32.7^\circ\text{C}$  (左)
6. 清泽  $\{39\mu\text{A}$ ,  $31.4^\circ\text{C}$  (右)  
 $\{42\mu\text{A}$ ,  $31.8^\circ\text{C}$  (左)
7. 清冷渊  $\{42\mu\text{A}$ ,  $31.5^\circ\text{C}$  (右)  
 $\{44\mu\text{A}$ ,  $31.4^\circ\text{C}$  (左)
8. 天井  $\{45\mu\text{A}$ ,  $31.7^\circ\text{C}$  (右)  
 $\{51\mu\text{A}$ ,  $31.9^\circ\text{C}$  (左)
9. 小海  $\{84\mu\text{A}$ ,  $31.8^\circ\text{C}$  (右)  
 $\{59\mu\text{A}$ ,  $31.5^\circ\text{C}$  (左)

10. 四瀉  $\{40\mu\text{A}$ ,  $31.9^\circ\text{C}$  (右)  
 $\{49\mu\text{A}$ ,  $32.3^\circ\text{C}$  (左)
11. 支正  $\{56\mu\text{A}$ ,  $31.6^\circ\text{C}$  (右)  
 $\{36\mu\text{A}$ ,  $31.9^\circ\text{C}$  (左)
12. 三阳络  $\{36\mu\text{A}$ ,  $31.7^\circ\text{C}$  (右)  
 $\{40\mu\text{A}$ ,  $32.3^\circ\text{C}$  (左)
13. 血湧  $\{39\mu\text{A}$ ,  $31.6^\circ\text{C}$  (右)  
 $\{44\mu\text{A}$ ,  $32.3^\circ\text{C}$  (左)
14. 外关  $\{35\mu\text{A}$ ,  $32^\circ\text{C}$  (右)  
 $\{39\mu\text{A}$ ,  $32.3^\circ\text{C}$  (左)
15. 会宗  $\{38\mu\text{A}$ ,  $31.6^\circ\text{C}$  (右)  
 $\{54\mu\text{A}$ ,  $32.2^\circ\text{C}$  (左)
16. 小肠俞  $41\mu\text{A}$ ,  $32.6^\circ\text{C}$  (右),  $46\mu\text{A}$ ,  $32.6^\circ\text{C}$  (左)
17. 肺脏俞  $43\mu\text{A}$ ,  $32.9^\circ\text{C}$  (右),  $43\mu\text{A}$ ,  $32.9^\circ\text{C}$  (左)
18. 脾俞  $18\mu\text{A}$ ,  $29.2^\circ\text{C}$  (右),  $19\mu\text{A}$ ,  $30.1^\circ\text{C}$  (左)
19. 胆俞  $12\mu\text{A}$ ,  $29.1^\circ\text{C}$  (右),  $14\mu\text{A}$ ,  $29.7^\circ\text{C}$  (左)
20. 京骨  $11\mu\text{A}$ ,  $29.9^\circ\text{C}$  (右),  $11\mu\text{A}$ ,  $30.2^\circ\text{C}$  (左)
21. 鼻翼  $17\mu\text{A}$ ,  $31.6^\circ\text{C}$  (右),  $17\mu\text{A}$ ,  $31.7^\circ\text{C}$  (左)
22. 百会  $59\mu\text{A}$ ,  $33^\circ\text{C}$
23. 扶孙  $63\mu\text{A}$ ,  $33.4^\circ\text{C}$  (右),  $68\mu\text{A}$ ,  $33.6^\circ\text{C}$  (左)
24. 颤息  $79\mu\text{A}$ ,  $33.4^\circ\text{C}$  (右),  $74\mu\text{A}$ ,  $34^\circ\text{C}$  (左)
25. 横眼  $81.8\mu\text{A}$ ,  $33.2^\circ\text{C}$  (右),  $69\mu\text{A}$ ,  $33.7^\circ\text{C}$  (左)
26. 肺俞  $80\mu\text{A}$ ,  $34.6^\circ\text{C}$  (右),  $70\mu\text{A}$ ,  $34^\circ\text{C}$  (左)
27. 大椎  $74\mu\text{A}$ ,  $32.7^\circ\text{C}$
28. 肺俞  $62\mu\text{A}$ ,  $32.3^\circ\text{C}$  (右),  $70\mu\text{A}$ ,  $32.7^\circ\text{C}$  (左)
29. 腰阳俞  $58\mu\text{A}$ ,  $32.5^\circ\text{C}$  (右),  $60\mu\text{A}$ ,  $32.7^\circ\text{C}$  (左)
30. 心俞  $58\mu\text{A}$ ,  $32.4^\circ\text{C}$  (右),  $60\mu\text{A}$ ,  $32.7^\circ\text{C}$  (左)
31. 肝俞  $51\mu\text{A}$ ,  $32.6^\circ\text{C}$  (右),  $57\mu\text{A}$ ,  $32.5^\circ\text{C}$  (左)
32. 脾俞  $52\mu\text{A}$ ,  $32.6^\circ\text{C}$  (右),  $54\mu\text{A}$ ,  $32.6^\circ\text{C}$  (左)
33. 肺俞  $52\mu\text{A}$ ,  $32.5^\circ\text{C}$  (右),  $55\mu\text{A}$ ,  $32.6^\circ\text{C}$  (左)
34. 肾俞  $50\mu\text{A}$ ,  $32.5^\circ\text{C}$  (右),  $59\mu\text{A}$ ,  $32.5^\circ\text{C}$  (左)
35. 三焦俞  $55\mu\text{A}$ ,  $32.5^\circ\text{C}$  (右),  $60\mu\text{A}$ ,  $32.5^\circ\text{C}$  (左)
36. 脾俞  $58\mu\text{A}$ ,  $32.5^\circ\text{C}$  (右),  $59\mu\text{A}$ ,  $32.5^\circ\text{C}$  (左)
37. 脊中  $56\mu\text{A}$ ,  $32.5^\circ\text{C}$
38. 大腿俞  $\{37\mu\text{A}$ ,  $32.4^\circ\text{C}$  (右)  
 $\{35\mu\text{A}$ ,  $32.5^\circ\text{C}$  (左)
39. 阳池  $52\mu\text{A}$ ,  $32.6^\circ\text{C}$  (右),  $57\mu\text{A}$ ,  $32.7^\circ\text{C}$  (左)
40. 合谷  $21\mu\text{A}$ ,  $32.2^\circ\text{C}$  (右),  $21\mu\text{A}$ ,  $31.5^\circ\text{C}$  (左)
41. 商阳  $15\mu\text{A}$ ,  $30.5^\circ\text{C}$  (右),  $14\mu\text{A}$ ,  $30^\circ\text{C}$  (左)
42. 关冲  $17\mu\text{A}$ ,  $31.4^\circ\text{C}$  (右),  $16\mu\text{A}$ ,  $31.1^\circ\text{C}$  (左)
43. 少冲  $16\mu\text{A}$ ,  $31.3^\circ\text{C}$  (右),  $21\mu\text{A}$ ,  $30.4^\circ\text{C}$  (左)
44. 少泽  $22\mu\text{A}$ ,  $31.3^\circ\text{C}$  (右),  $15\mu\text{A}$ ,  $31.1^\circ\text{C}$  (左)
45. 泽门  $23\mu\text{A}$ ,  $32.9^\circ\text{C}$  (右),  $25\mu\text{A}$ ,  $32.6^\circ\text{C}$  (左)
46. 少海  $25\mu\text{A}$ ,  $32.6^\circ\text{C}$  (右),  $31\mu\text{A}$ ,  $32.9^\circ\text{C}$  (左)
47. 髌骨  $17\mu\text{A}$ ,  $32.1^\circ\text{C}$  (右),  $26\mu\text{A}$ ,  $32.2^\circ\text{C}$  (左)
48. 环跳  $60\mu\text{A}$ ,  $33.3^\circ\text{C}$  (右),  $60\mu\text{A}$ ,  $33.3^\circ\text{C}$  (左)
49. 承扶  $48\mu\text{A}$ ,  $33.7^\circ\text{C}$  (右),  $49\mu\text{A}$ ,  $33.8^\circ\text{C}$  (左)
50. 岩門  $40\mu\text{A}$ ,  $32.3^\circ\text{C}$  (右),  $39\mu\text{A}$ ,  $32.3^\circ\text{C}$  (左)
51. 委中  $58\mu\text{A}$ ,  $32.6^\circ\text{C}$  (右),  $56\mu\text{A}$ ,  $32.6^\circ\text{C}$  (左)
52. 承筋  $33\mu\text{A}$ ,  $31.7^\circ\text{C}$  (右),  $27\mu\text{A}$ ,  $31.8^\circ\text{C}$  (左)

F.

的导电量的平均值和穴位上的导电量作对比，这样能較正确的反映出穴位与周围点导电量的差異。

## 实 驗 結 果

第一部分：穴位导电量与温度正常值的测定見图1及图2。該图中所标明的数字系代表10人被測定穴位上的导电量与7人温度的平均值。

### 一、皮肤穴位的导电量：

1. 皮肤各穴位导电量值的分佈情况与身体解剖部位有一定的关系。头面部导电量最高，軀干次之，末梢最低。如“印堂”“水溝”“太阳”等处平均导电量在90微安以上，而手足穴位则在20微安左右。愈近手足的尖端，则其导电量愈低。在軀干的分佈是背部的导电量較瓶部高，胸部的导电量比腹部高。在四肢的分佈則趋近头部处逐渐增高。在同一解剖部位上諸穴位导电量值較接近。从本实验看來，皮肤导电量显然的与解剖部位有一定的联系，表現有向头部逐渐增高的趋势。面部的导电量为全身最高的地方。

2. 在同一条經絡上各穴位导电量的差異很大。例如手少阳三焦經，关冲最低，絲竹空最高，其平均值右侧自17微安到91微安，左侧由16微安到80微安。肺經最低为魚际，最高为中府，右侧由11到58微安，左侧由12到61微安。肝經的中封最低，章門最高，平均值右侧由23到62微安，左侧由22到59微安。在同一条經絡上各穴位的导电量也表现了愈近头部，其导电量愈高的这种特点。

在我們所測定的肺經、肝經及三焦經各穴位的导电量的平均值与肘膝关节各穴位的导电量相近，而与腕踝关节附近（原穴）的各穴位导电量相差較大。見表1。

表1 肺經、三焦經与肝經各穴位导电量平均值与其原穴导电量平均值之比較

手 太 阴 肺 經				手 少 阳 三 焦 經				足 厥 阴 肝 經			
左		右		左		右		左		右	
太 潤	平 均	太 潤	平 均	阳 池	平 均	阳 池	平 均	太 冲	平 均	太 冲	平 均
26	37	28	37	37	52	32	52	24	39	24	39

3. 肘膝关节屈面穴位的导电量均較其附近上下各穴位高，如“曲池”“委中”等皆比其上下高出10微安左右。

### 二、皮肤穴位的温度值：

各穴位的温度平均值見图1及图2。温度的分佈情况与导电量有一致的关系，导电量大的部位，温度亦相应地高；导电量小的部位，温度亦相应地低。唯神闕是例外，其温度是34.8°C，比周围各穴位高，但导电量比周围穴位低。穴位下面有大动脉經過者，其温度往往較高，如“人迎”（頸总动脉經過）为34°C，“急脈”（股动脉經過）为33.9°C。

第二部分：从这5个正常人所测得的穴位处导电量与周围非穴位处导电量的材料来看，在所选择的穴位中可以区分为三类，見图3。第一类的导电量比周围点高；第二类的比周围低；第三类包括两种情况：其一为与周围点相差很少，其二从数字看來虽有些差異，但在統計学上其意义不大。

第一类包括：印堂(11)，絲竹空(11,5)，人中(8)，地仓(6,8)，石門(8)，命門(11)，腎俞(10,5)，太淵(14,17)，經渠(15,18)，曲澤(9,4)，曲池(12,2)，環跳(17,20)，委中

(9,4), 隱白(6,18), 大敦(20,34)。(括弧中的数字表明超过周围点的微安值, 有兩数者, 第一数字表示左侧的, 第二数字表示右侧的。)

印堂人中承浆風玉虛中下神石門金門脣少商少太經尺曲少少時曲環風箕委面委冲脈大涌  
督脈中宮中庭曲垣懸樞少商宮府瀉梁澤海海尖池諸市門中谷陽陽自敷泉

微安

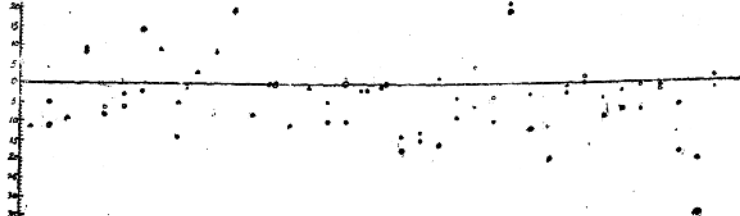


圖 3. 穴位與其周圍非穴位點導電量的比較

以被測定穴位的導電量作基準，橫線以上的點表示周圍點比該穴高導電量值，  
橫線以下的點表示周圍點比該穴低導電量值。

●代表右側, ○代表左側。

第二類包括：禾髎(9,10), 玉堂(10), 下脘(9), 神闕(20), 肘尖(19,21)。(括弧中的數字表明比周圍點低的微安值。)

第三類包括：翳風, 風池, 腹中, 中庭, 曲垣, 懸樞, 少商, 芳宮, 少府, 尺澤, 少海, 小海, 風市, 簾門, 阳谷, 委陽, 冲阳, 滾泉。

## 討 論

在我們的實驗中觀察到影響脈穴導電量的因素極為複雜，在同一穴位上個體之間的差異也很大。但是實驗中的全部受試者其頭面部脈穴導電量最高，軀幹次之，肢體末梢最低這個現象却是完全一致的，因此我們認為各穴位導電量的相對值的關係比絕對值更有意義。

從正常健康人的測定結果，在同一經絡上各穴位的導電量值相差甚大，脈穴與非脈穴部位導電量的對比沒有顯著的規律，難以看到良導點的現象，但是這並不能否認經絡連系的不存在。文獻<sup>(5)</sup>記載良導點多出現在某種病理情況下，因此應該考慮到闡明經絡形態與聯繫的研究工作僅在正常人體進行是不夠的，在病理情況下進行研究，其意義更大。

Zach氏<sup>(2)</sup>曾提出組織代謝的高低可以從其相應皮膚上的一些物理特徵如電阻、電位及皮膚溫度等方面反映出來。電阻低、電位大與皮膚溫度高表示代謝旺盛。我們的實驗材料中所測到的皮膚溫度正常值與 Sheard 氏<sup>(6)</sup>的結果是一致的。同時證明皮膚穴位導電量與溫度有一致性的關係，這是一個很有意義的問題。許多學者證明<sup>(7)</sup>皮膚表面溫度的高低是受皮膚血管收縮與擴張的影響，血管擴張則溫度高，血管收縮則溫度低。雖然皮膚電阻主要與出汗有關，但是皮膚血管的擴張也可以引起皮膚導電量的增加<sup>(8)</sup>。在臨牀上某些疾病過程中常出現良導點，在這些良導點的皮膚上其溫度是否也較高呢？這是值得研究的一個問題。

經絡學說的形成是經過幾千年醫療實踐工作所創立的。從疾病的過程中與治療的效果上的確證明經絡是在機體中的客觀存在。它是一個非常複雜而精細的功能與結構連系，是疾病在體表部有的規律的反映系統。我們認為僅僅通過皮膚通電抵抗的測定來解決經絡的機制問題是有一定距離的，應該考慮到從皮膚的其他物理特徵如皮膚電位、溫度、抗阻、以及皮膚

与内臟、內臟与皮肤的相互关系上进行广泛的研究工作，这样才能使祖国医学中宝贵的遗产——經絡學說放出更大的光彩。

## 結 論

1. 在正常人体224个穴位上进行了导电量与皮肤温度的测定。头面部穴位的导电量最高，躯干部次之，肢末梢最低。躯干部则背部比腹部高，胸部比腹部高。在四肢之分佈則趨近头部处逐渐增高。从本实验看來，皮肤导电量与解剖部位有一定的联系，表现为向头部逐渐增高的趋势。

2. 被测定穴位的皮肤温度值与导电量的分佈有同一趋势，导电量大的部位，温度亦高；导电量低的部位，温度亦低。

3. 在穴位处的导电量与周围非穴位部分皮肤导电量的对比实验中，証明其中有些穴位的导电量比周围皮肤高，有的则較低，有的則相接近。

附註：1. 本实验有上海中医学院62年級乐德行、王景林等十位同学参加，特此說明。又李鼎同志帮助点穴，謹表謝意。

2. 本文所用“导电量”一詞乃指通电量而言，非專門名詞。

## 參 考 文 獻

- (1) 中谷义雄：皮肤通电抵抗之良导絡（一）。自律神經雜誌（日本），6卷，3期，3頁，昭和32年。
- (2) Zach, F. S.: Autonomic Regulations in Skin Resistance Pattern. Brit. Journ. Physical Med. Vol. 18, p 50, 1955.
- (3) Подшибякин, А. К.: Схемы Распределения Активных Точек Кожи. Вопросы Физиологии, No. 4, 127, 1954.
- (4) Burton, A. C.: Temperature of Skin: Measurement and Use as Index of Peripheral Blood Flow. Methods in Medical Research, Vol. 1, p 146, 1950.
- (5) 肖友山：从皮肤通电抵抗看到經絡的形态。中医雜誌，1958年2月，121頁。
- (6) Sheard, C. D.: Temperature of Skin and Thermal Regulation of Body. Med. Physics, Vol. 1, p 1523, 1943.
- (7) 普索尼克：大腦皮層与机体感受机能。（王洛白等譯）人民卫生出版社，1956年北京版。49頁。
- (8) Wells, H. M.: The Effect of the Circulation on the Electrical Resistance of the Skin of Man. Quart. Journ. Experit. Physiol., Vol. 18, P 175, 1928.